

Figure 3. 曝露チャンバー内の発塵繊維の長径の分布
(肺磁界測定法)

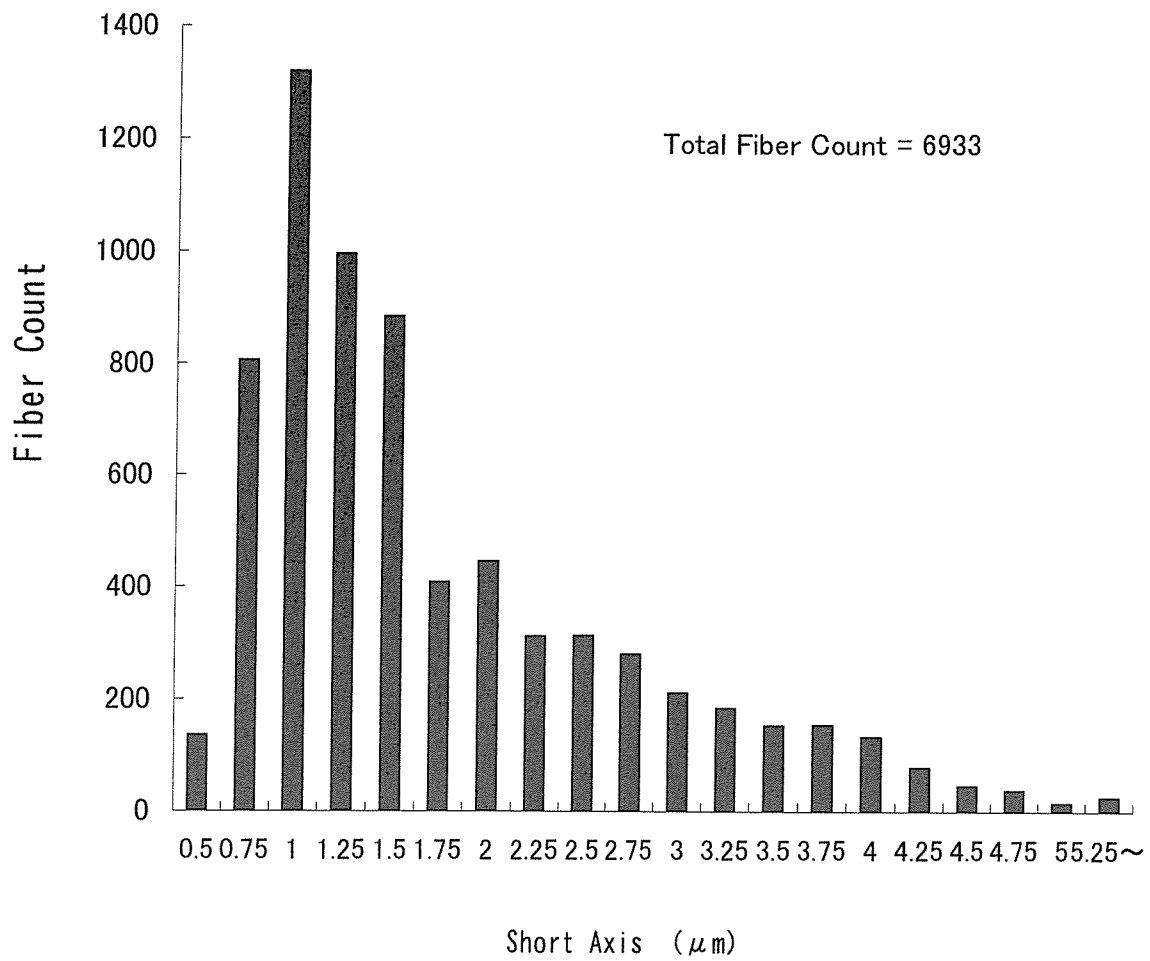


Figure 4. 曝露チャンバー内の発塵繊維の短径の分布
(肺磁界測定法)

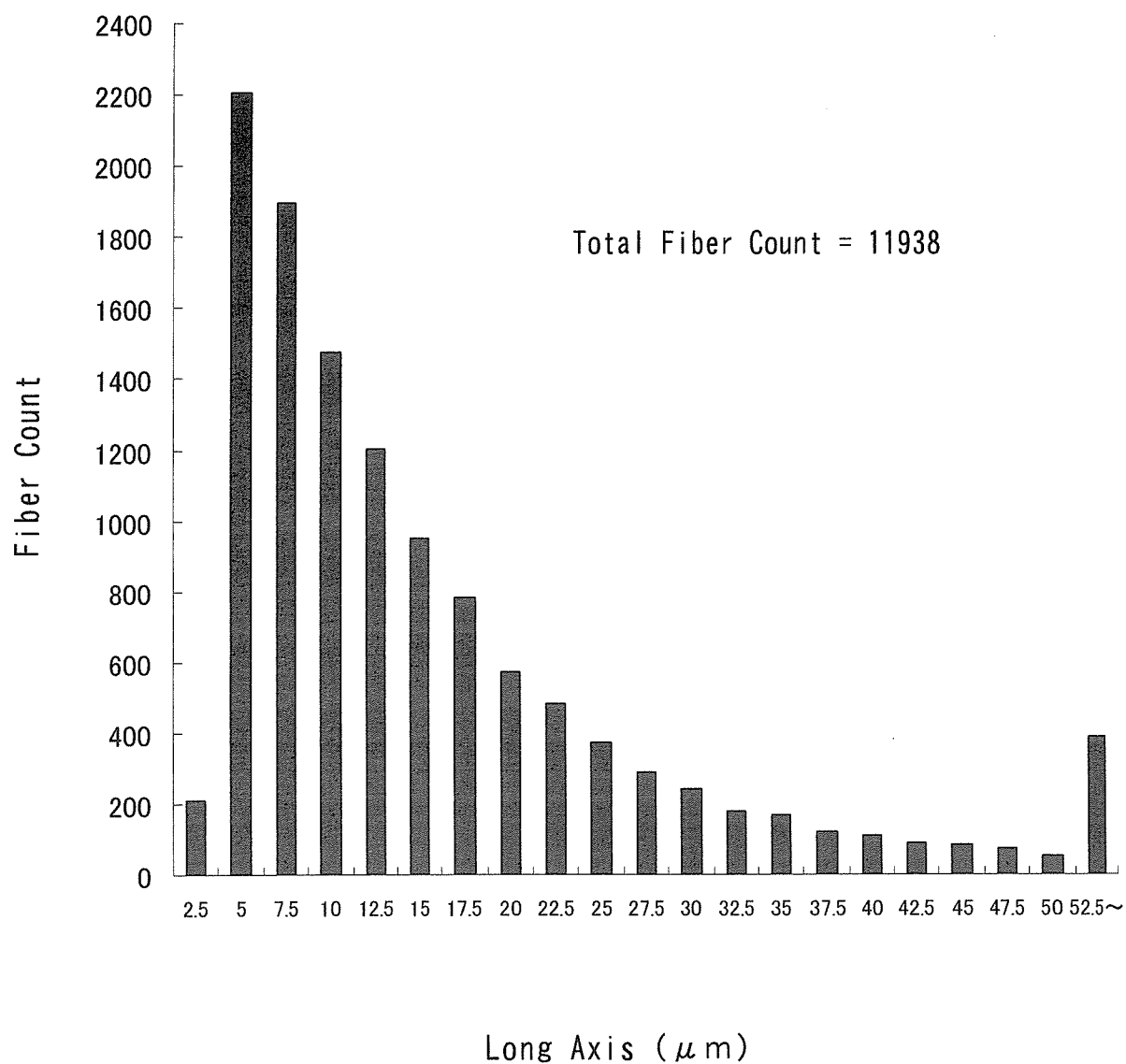


Figure 5. 曝露チャンバー内の発塵繊維の長径の分布
(肺内滞留性実験)

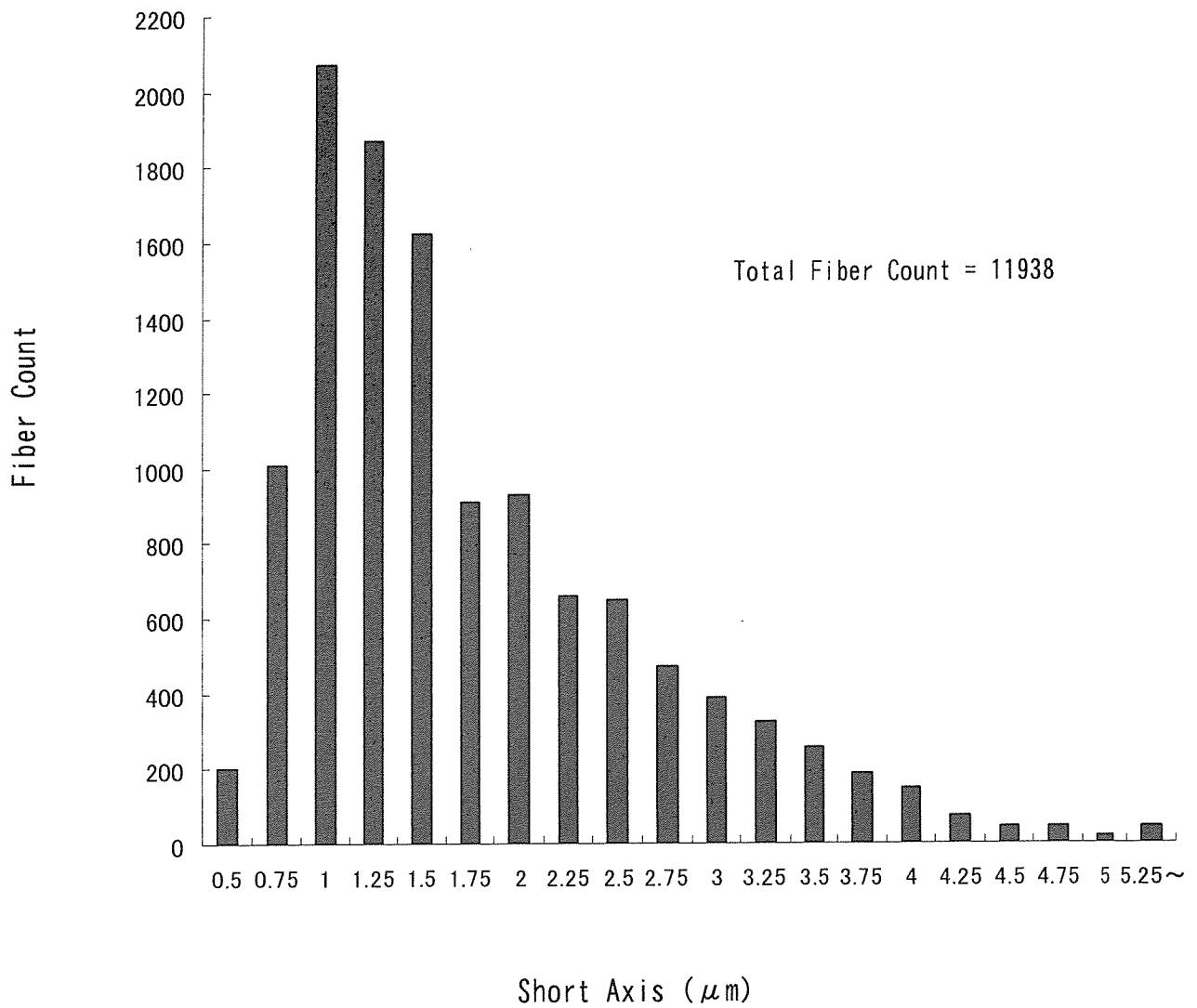


Figure 6. 曝露チャンバー内の発塵繊維の短径の分布
(肺内滞留性実験)

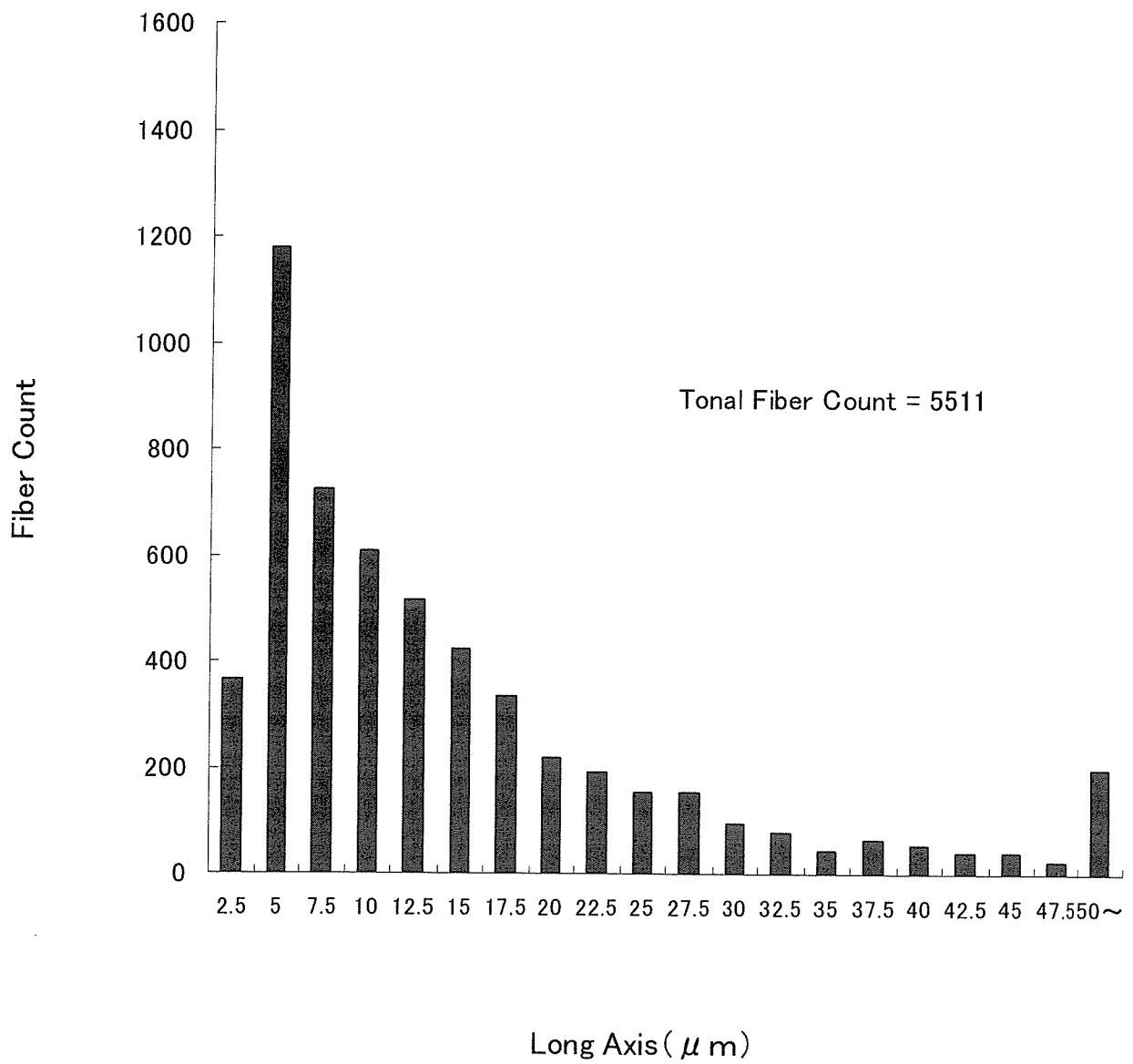


Figure 7. 曝露チャンバー内の発塵繊維の長径の分布
(病理学的評価)

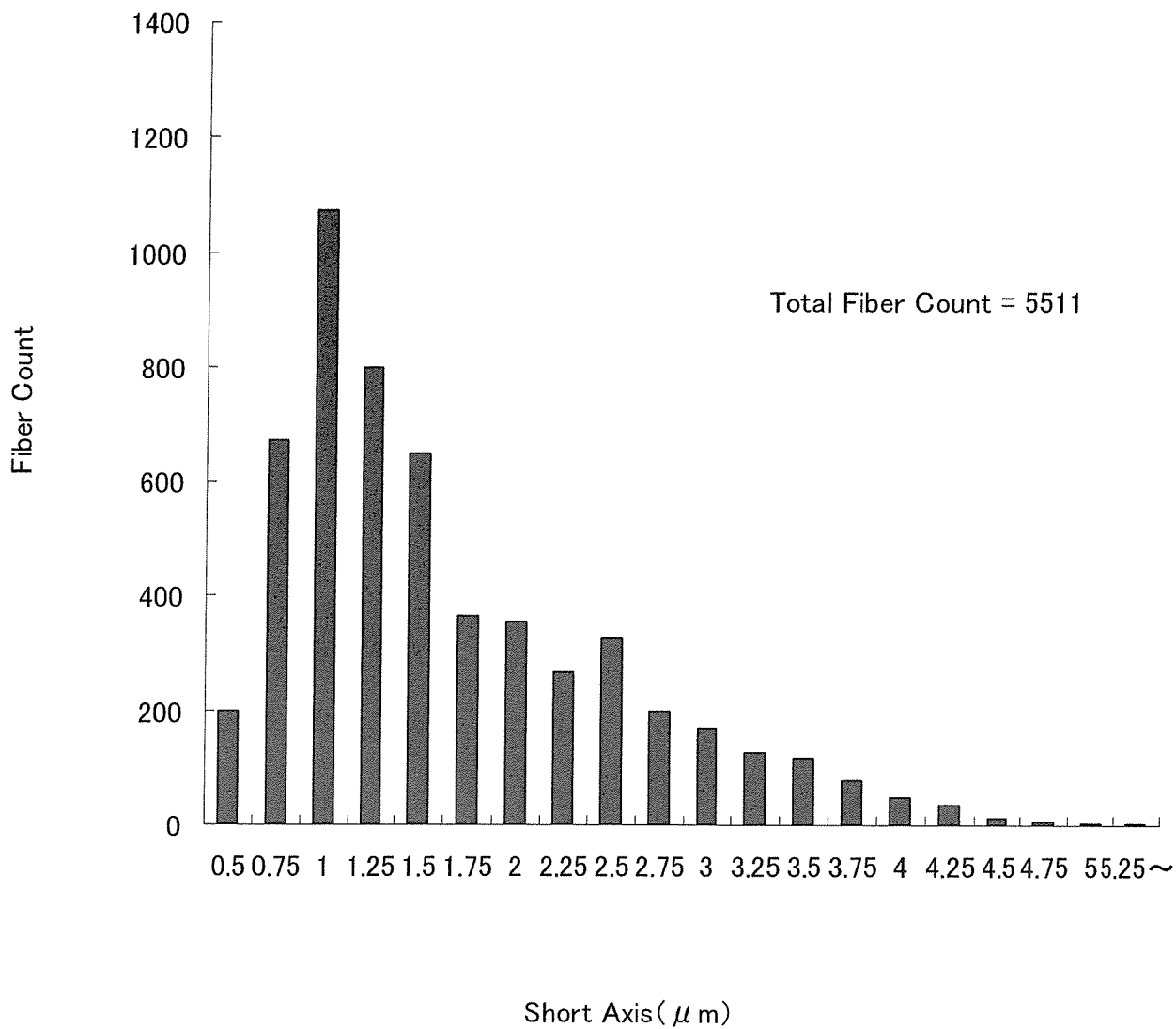


Figure 8. 曝露チャンバー内の発塵繊維の短径の分布
(病理学的評価)

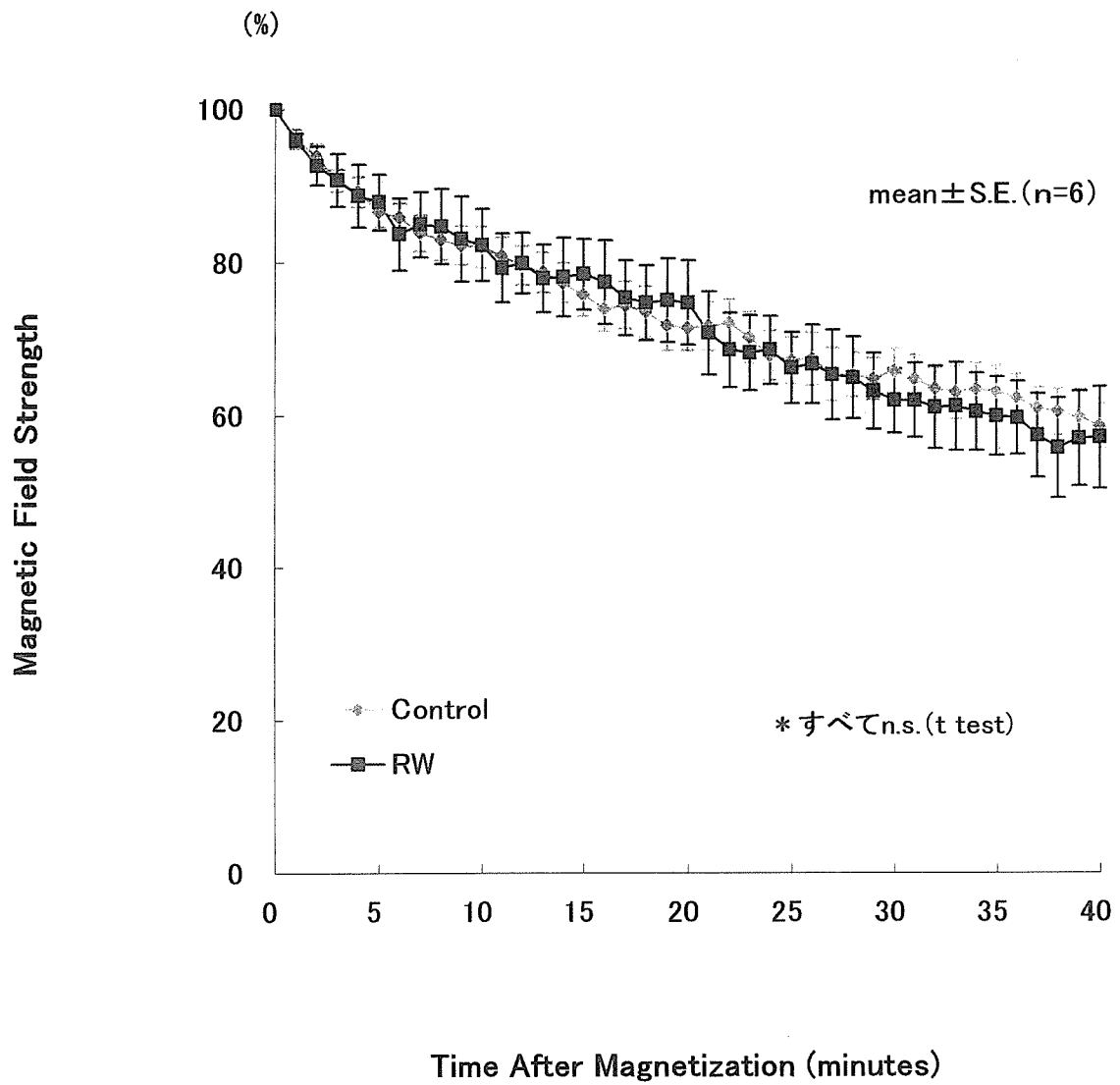


Figure 9. 1日後の緩和曲線

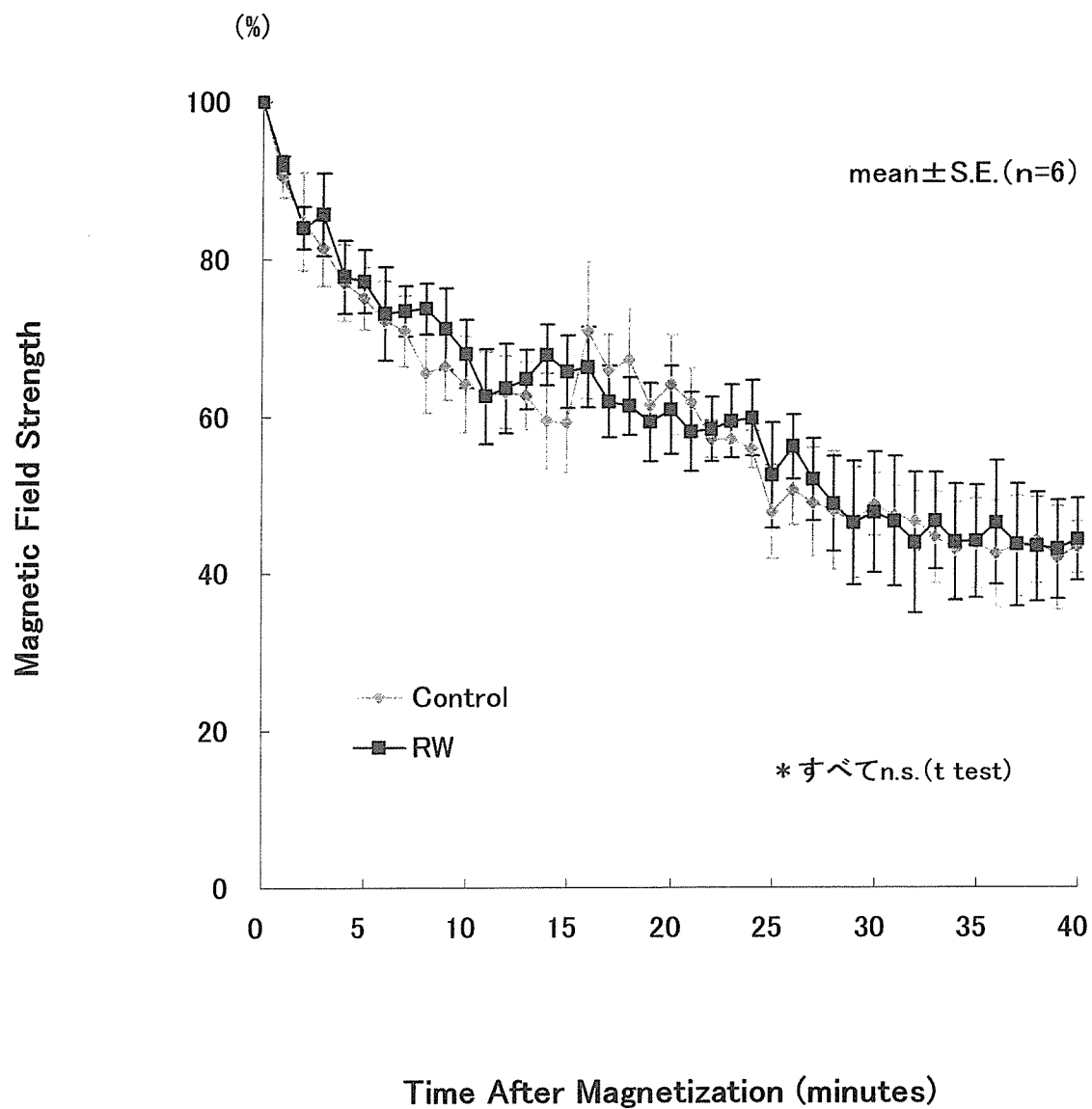


Figure 10. 3日後の緩和曲線

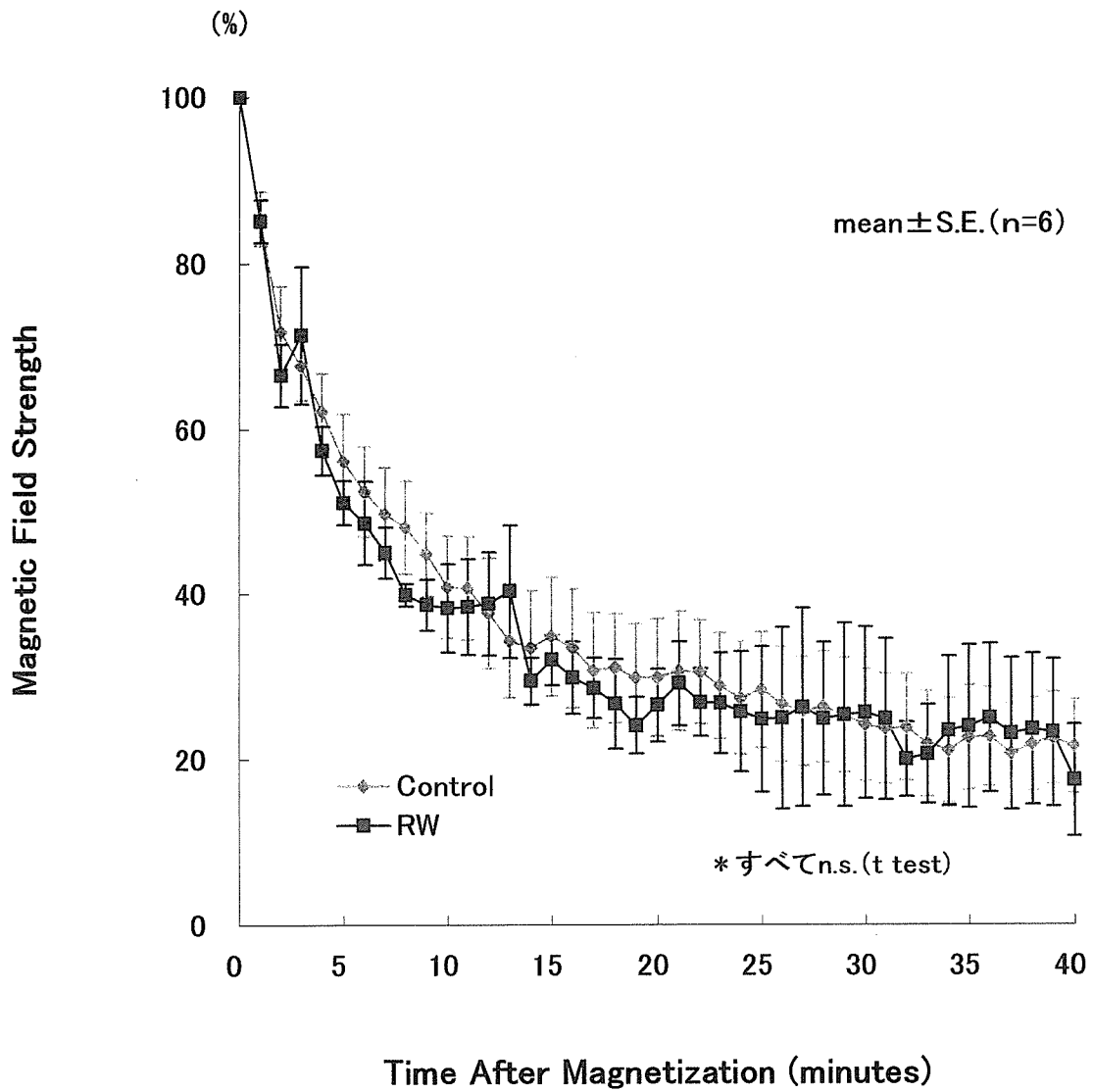


Figure 11. 2 週後の緩和曲線

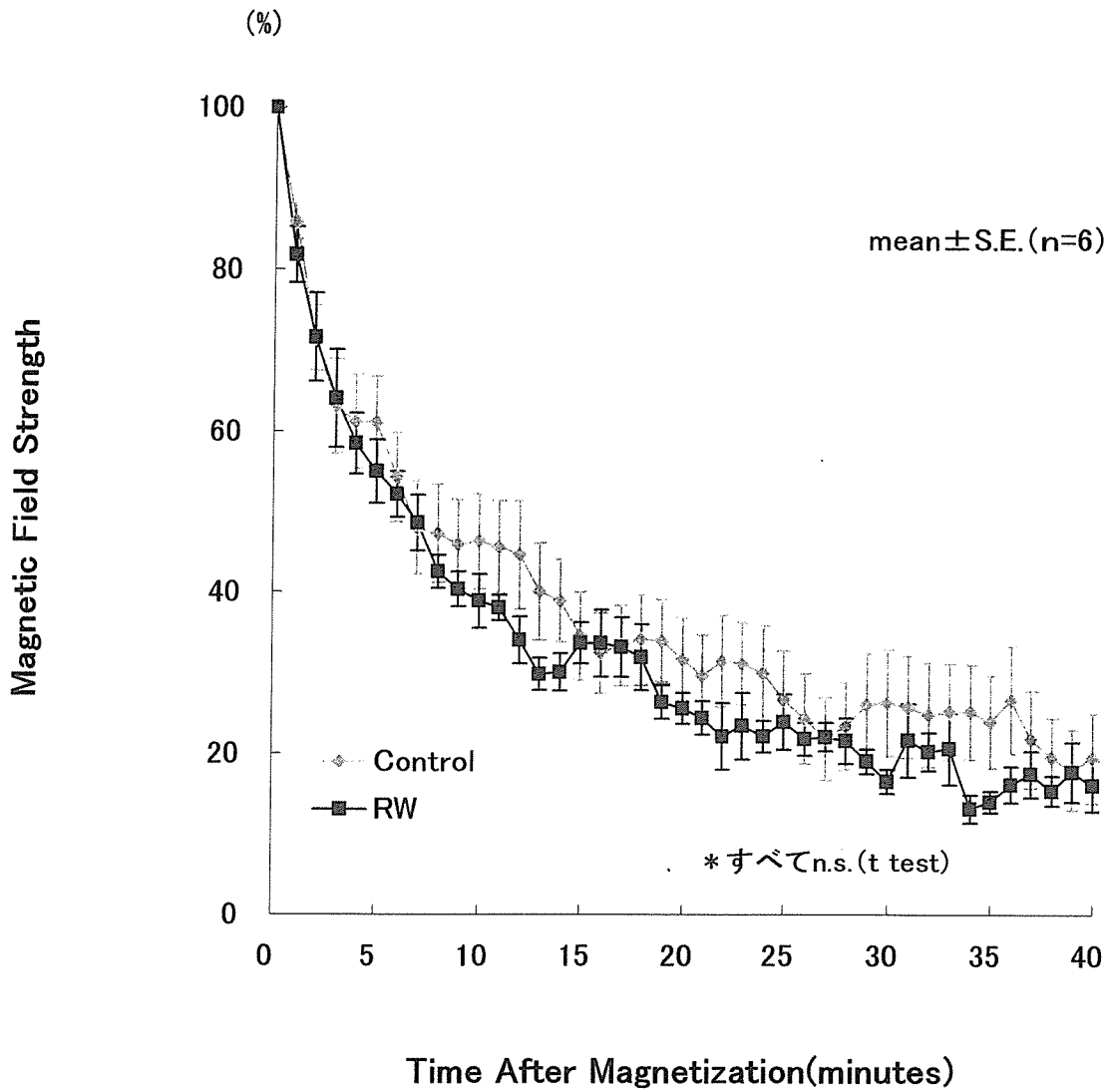


Figure 12. 4週後の緩和曲線

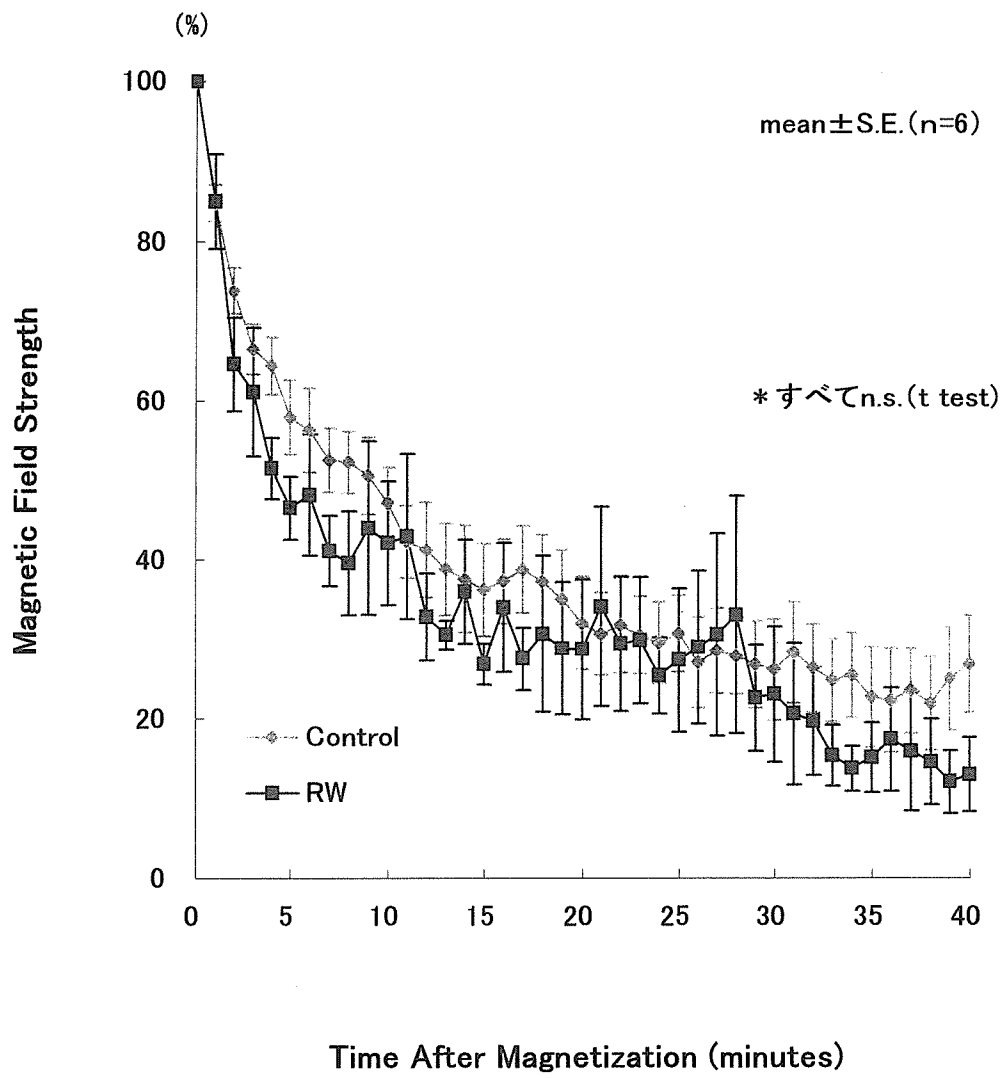


Figure 13. 2ヶ月後の緩和曲線

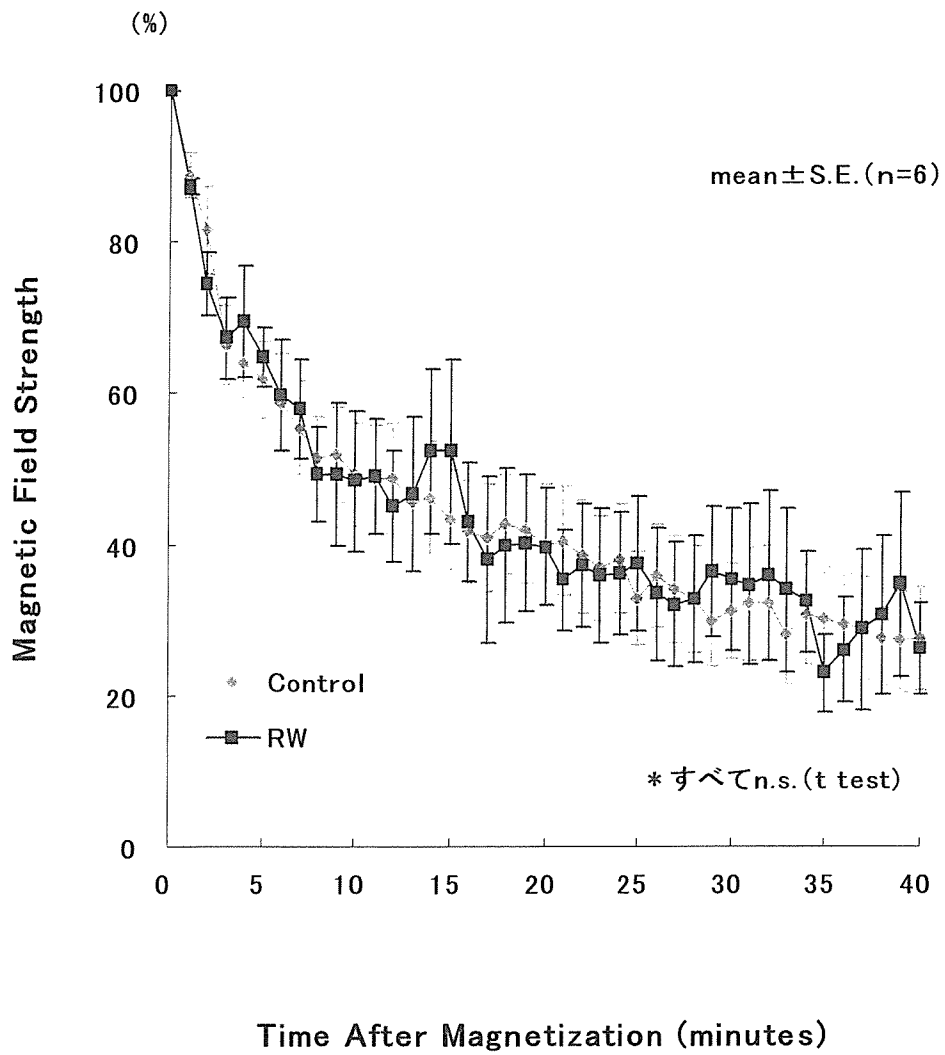


Figure 14. 3ヶ月後の緩和曲線

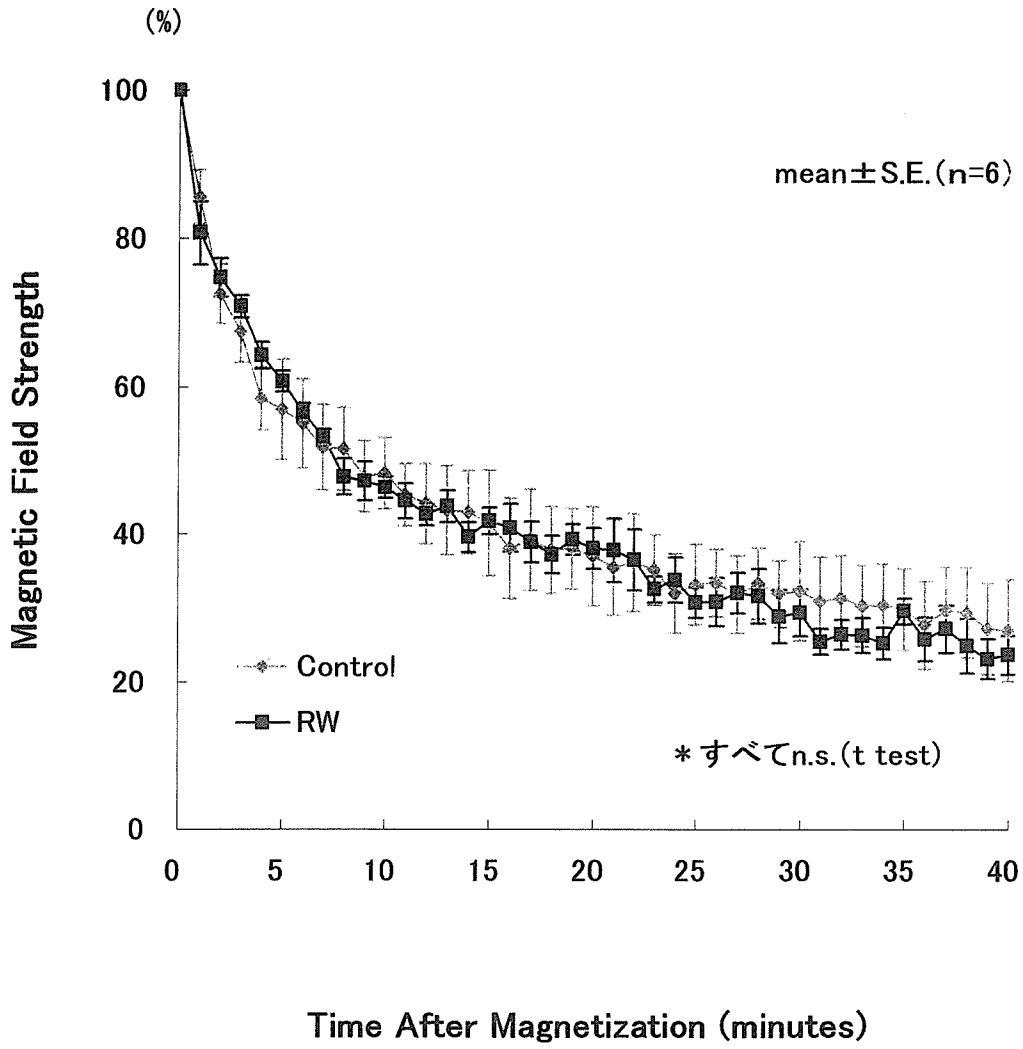


Figure 15. 4ヶ月後の緩和曲線

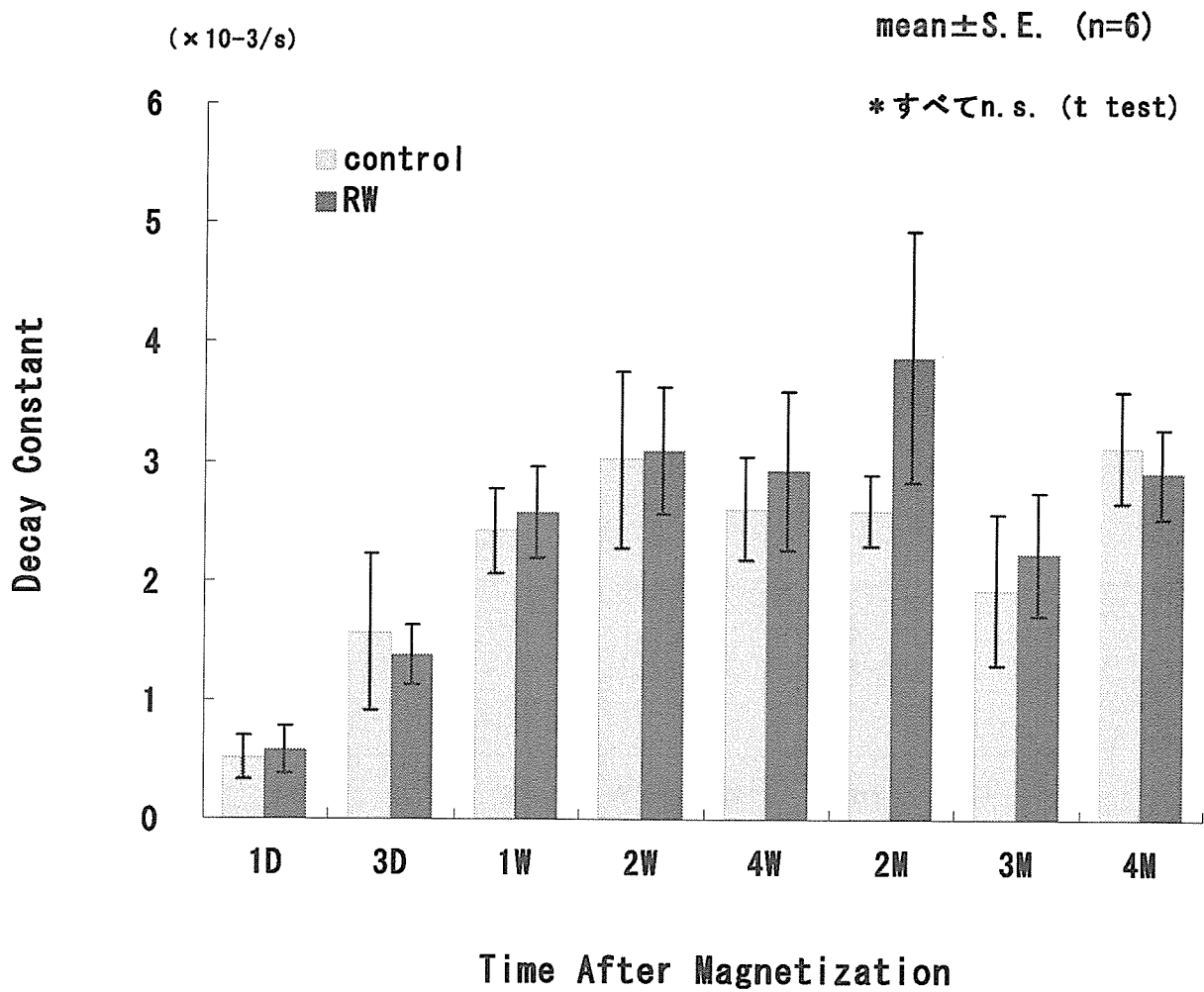


Figure 16. 鉄投与後の緩和係数の変化

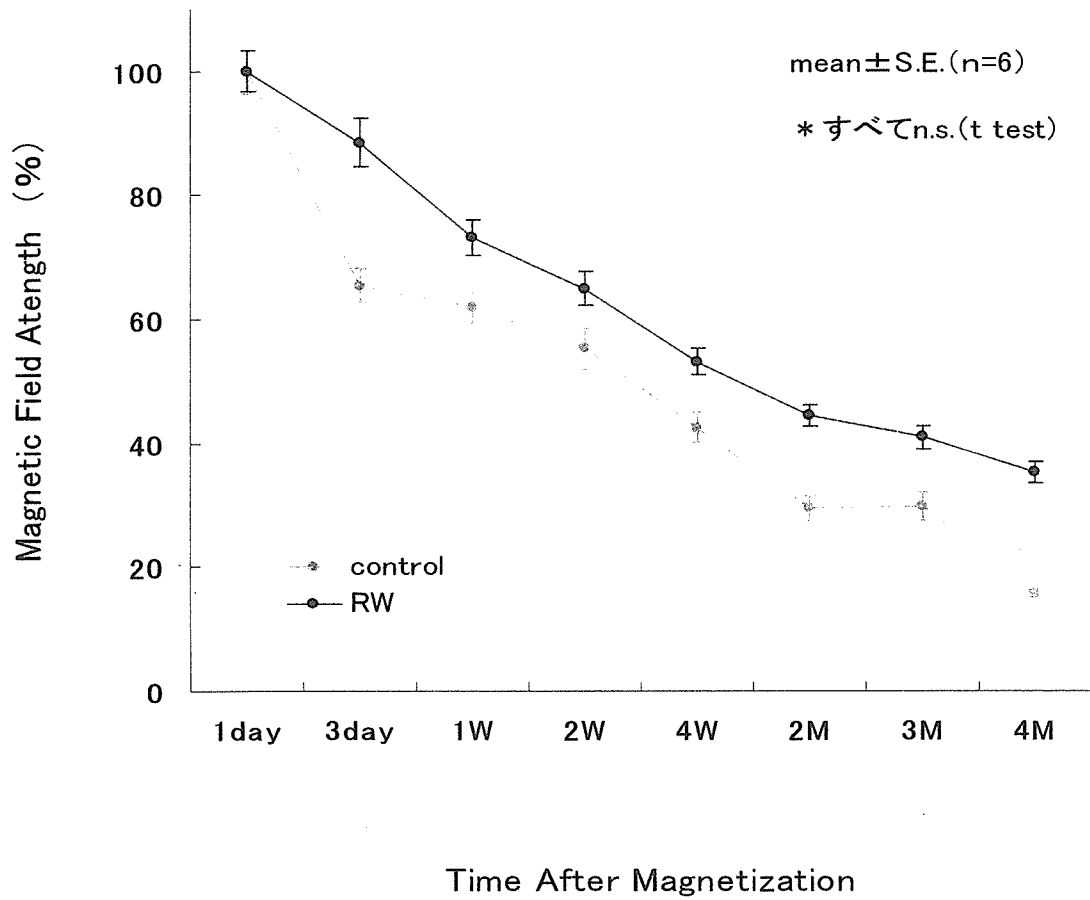


Figure 17. ラット肺からの磁性粒子のクリアランス

Table 2. 肺内滞留繊維数

観察期間	総繊維	$L \leq 5$	$5 < L \leq 20$	$20 < L$	WHO 繊維
1 日後群	51.83 (1.22)	21.94 (1.21)	24.96 (1.27)	4.56 (1.53)	29.67 (1.28)
90 日後群	26.06 ^a (1.18)	12.41 ^a (1.20)	12.09 ^a (1.23)	1.48 ^a (1.19)	13.58 ^a (1.21)
180 日後群	11.76 ^{a,b} (1.13)	6.47 ^{a,b} (1.17)	4.76 ^{a,b} (1.15)	0.48 ^{a,b} (1.25)	5.25 ^{a,b} (1.14)

幾何平均 $\times 10^5$ /肺

*Scheffe' test

(幾何標準偏差)

a : 1 日後群との比較 ($p < 0.01$)

n=6

b : 90 日後群との比較 ($p < 0.01$)

L=繊維の長径 (μm)

WHO 繊維: 繊維の中で長径が $5 \mu\text{m}$ より大きく 短径が $3 \mu\text{m}$ 未満のもの

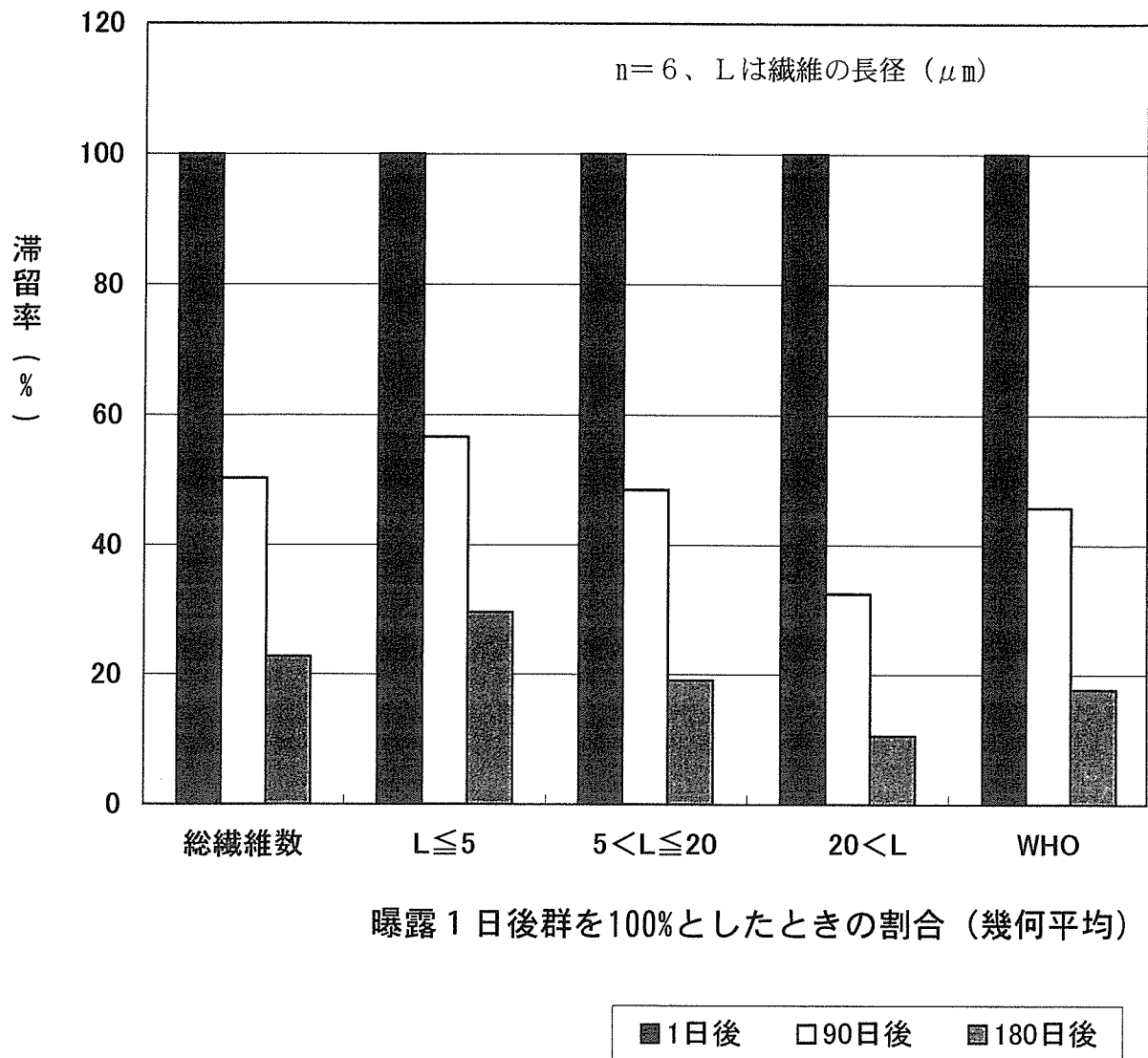
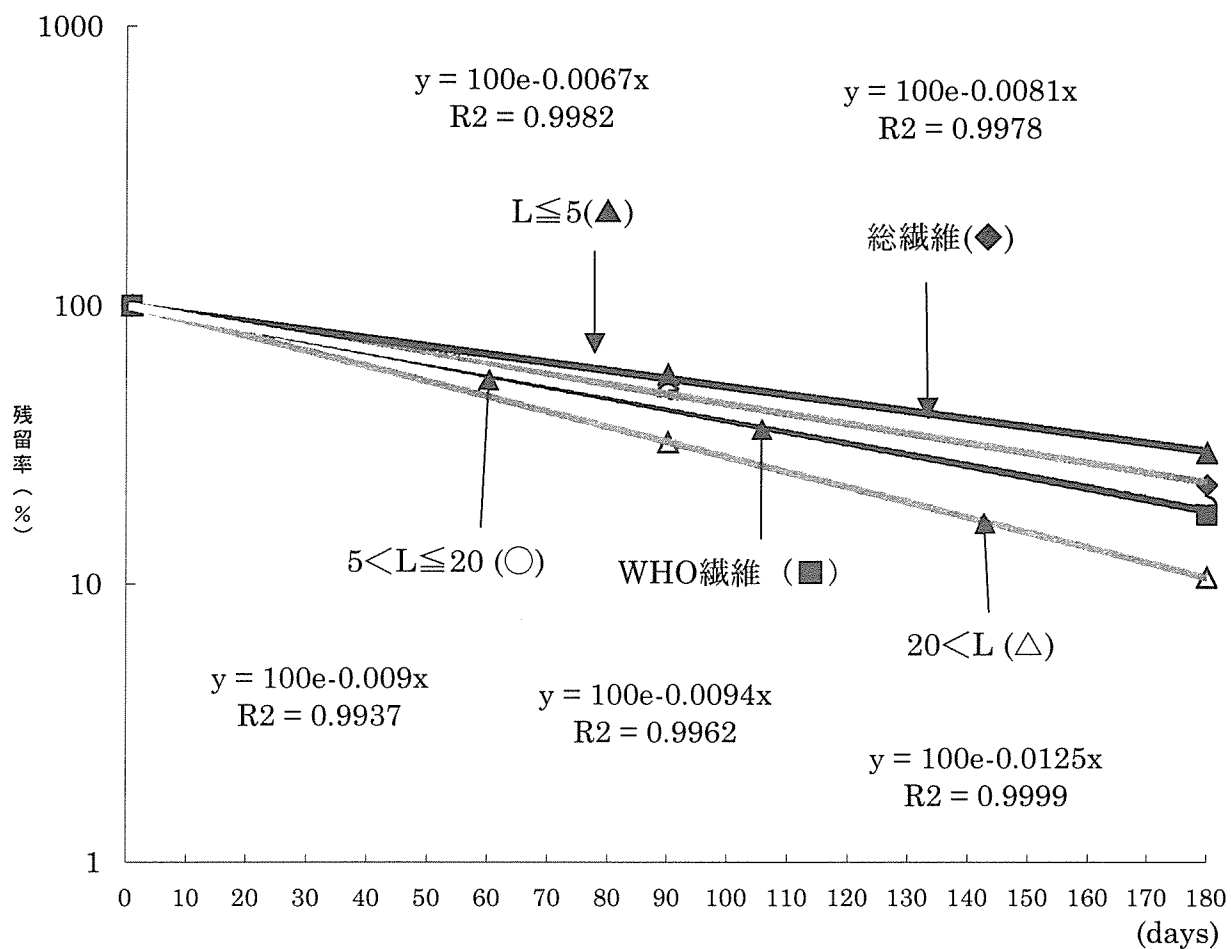


Figure 18. 肺内繊維数の推移



曝露終了1日後群を100%としたときの割合

Figure 19. 指数近似曲線 (幾何平均)

Table3. 長径と短径の推移 (総繊維)

観察期間	長径		短径	
1 日後群	6.53	(2.32)	0.45	(1.72)
90 日後群	5.56 ^a	(2.20)	0.35 ^a	(2.10)
180 日後群	4.41 ^{a,b}	(2.46)	0.35 ^a	(2.17)

幾何平均(幾何標準偏差) (μm)

*Scheffe' test

n=6

a : 1 日後群との比較 ($p < 0.01$)

b : 90 日後群との比較 ($p < 0.01$)

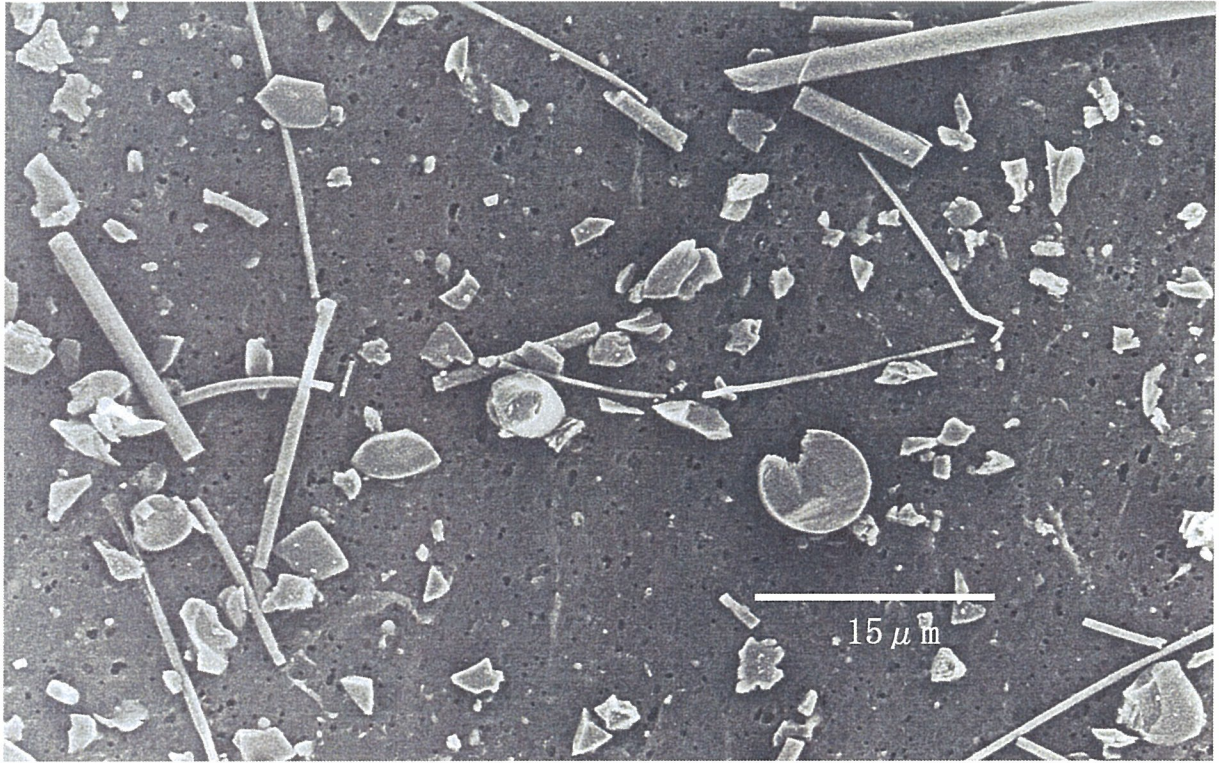


Figure 20. 肺内繊維の電子顕微鏡写真(1日後)